

斜吊材を有する吊橋の構造解析

大阪大学 正員 小松 定夫

・ 〇 西村 宜男

斜吊材を有する吊橋(特にモルタルケーブル吊橋)の静的変形に関する基礎方程式の説明並びにその解析目的としたものである。吊材の伸縮を考慮して斜吊材の特性を考慮式の中に組入れた厳密な基礎方程式を導き、GALERKIN 法によって解析した。

1. 基礎方程式の説明

説明に際して補剛桁の剪断力軸力による変形を無視、端の変形による影響を無視、吊材はいかなる荷重状態に対してもたるす事のないものと仮定する。図-1 の如き吊橋が3次元的に変形する場合に生ずる変形成分はケーブルに因る U_c, V_c, W_c 、補剛桁に因る V_s, W_s, φ とする。

ケーブル及び補剛桁における釣合条件として次式が与えられる。

$$F(x) = -R' \quad (1)$$

$$S(x) = -H(y' + V_c') - R'(y' + V') \quad (2)$$

$$W(x) = -Hw_c'' - R'w_c' - W_c \quad (3)$$

$$E_s I_{z\bar{z}} w_s'' = w + p_w - S(x) \quad (4)$$

$$E_s I_{y\bar{y}} w_s'' - E_s I_{y\bar{y}} y_m g'' = W_s - W(x) \quad (5)$$

$$E_s C_s g'' - G I_{z\bar{z}} g'' + E_s I_{z\bar{z}} y_m w_s'' \\ - \frac{\theta}{\sin 2\theta} (\cos^2 \theta \cdot W(x) - g S(x)) + p(z) \cdot e \quad (6)$$

式中、 $F(x), S(x), W(x)$ はそれぞれ x, y, z 方向の換算吊材力と看付け方。

更に吊材と補剛桁の形成するザイルトラスの補剛桁の回転による変形と吊材力による吊材の伸縮を考慮することによりて、ケーブルと補剛桁の間に次の関係式を導く。(図-2 参照)

$$V_s - V_c = \frac{k^2 a}{4 d^2} \frac{(S_0 - S_0)}{A_h E_h} \quad (7)$$

$$U_c = d V_s' - \frac{k^2}{a} \frac{F(x)}{A_h E_h} \quad (8)$$

$$W_s - W_c = d \varphi + \frac{k^2 a}{b^2} \frac{W(x)}{A_h E_h} \quad (9)$$

又ケーブルの変形に関する

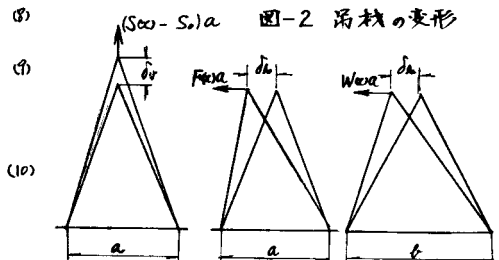
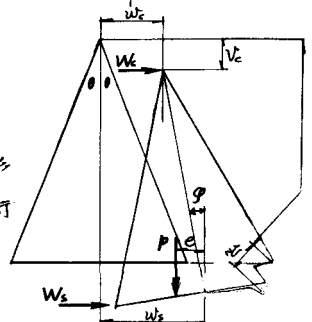
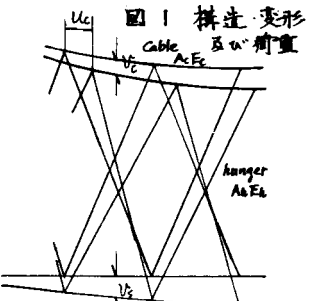
$$U_c' = \frac{h}{E_c A_c} \sec^2 \psi - V' y' \quad (10)$$

以上の式より換算吊材力及び V_c, W_c を消去する。

$$C_1 H E_s I_{z\bar{z}} V_c'' + (2C_1' H + C_1 R') E_s I_{z\bar{z}} V_c'' + (C_1'' H + C_1' R' - 1) E_s I_{z\bar{z}} V_s'' + H w_s'' + R' y' + U_s' + P(x)(1 - C_1' H - C_1 R') + R y'' = 0 \quad (11)$$

$$G(E_s I_{y\bar{y}} H w_s'' + E_s I_{y\bar{y}} H \cdot y_m g'') + (2C_2' H + C_2 R') (E_s I_{y\bar{y}} w_s'' + E_s I_{y\bar{y}} y_m g'') + (C_2'' H + C_2' R' - 1) (E_s I_{y\bar{y}} w_s'' + E_s I_{y\bar{y}} y_m g'') + H w_s'' + R' w_s' - H d \cdot g'' - (2H d + R' d) \varphi' - (H d'' + R' d'') \varphi + W_s - (C_2'' H + C_2' R' - 1) W_s = 0 \quad (12)$$

$$E_s C_s g'' - G I_{z\bar{z}} g'' + E_s I_{z\bar{z}} y_m w_s'' = (b / \sin 2\theta) \left[-\cos^2 \theta [H \{ C_2'' (E_s I_{y\bar{y}} w_s'' + E_s I_{y\bar{y}} y_m g'') - W_s \} + 2C_2' (E_s I_{y\bar{y}} w_s'' + E_s I_{y\bar{y}} y_m g'')] \right]$$



$$+ G(E_s I_y W_s'' + E_t I_z Y_t \varphi'') + W_s'' - d''\varphi - 2d'\varphi' - d\varphi'' \} + k' \{ C_2(E_s I_y W_s'' + E_t I_z Y_t \varphi'') - W_s) + C_1(E_s I_y W_s'' + E_t I_z Y_t \varphi'') \\ + W_s' - d'\varphi - d\varphi' \} + W_s \} + \varphi (H y'' + H (V_s'' + C_1''(E_s I_z V_s'' - p_w) + Z C_1'' E_s I_z V_s'' + C_1 E_s I_z V_s'') + k'y' \\ + k'(V_s' + C_1'(E_s I_z V_s'' - p_w) + C_1 E_s I_z V_s'') \} + p_w \cdot e \quad (13)$$

以上(11)～(13)式及び(8), (10)式がモードル系吊橋の基礎方程式である。

2. 基礎方程式の簡易化 (鉛直変位)

前節で与えた基礎方程式は非常に複雑であるから許される範囲内で簡略化するこが望ましい。そこで従来の鉛直系吊橋の場合と同様に V_s , V_t , V の近似を行うこと(13式より)

$$E_s I_z V'' - H y'' - k'(y' + V') - k y'' = p_w \quad (14)$$

上式には W_s , φ がふくまれていないから、(8), (10)式と共に鉛直変位は独立に解析出来る。式中の非線形項のうち $H y''$ は H の中にふくまれる付加荷重の変動が $H K$ 較べ充分小さいと思われるから一定値 H と置き、 $k' V'$ は $V'' \ll y''$ と考へて省略する。

$$E_s I_z V'' - H y'' - k'y' - k y'' = p_w$$

(8), (10)式と上式中の y の項を消去すると最終的に U , V に関する連立微分方程式をうる。

$$E_s I_z V'' - H y'' + \left(\frac{d}{C_3} - \frac{y''}{C_4} \right) y' V' - \frac{y'}{C_4} U' - \frac{y'}{C_3} U = p_w \quad (15)$$

$$U'' - \frac{C_4}{C_3} U' - \frac{C_4}{C_3} U + y' V'' + \left(y'' - \frac{C_4}{C_3} y' + \frac{C_4 d}{C_3} \right) V' = 0 \quad (16)$$

3. 基礎方程式の解法

図3に示す単径系吊橋に対する境界条件を満足するよう U , V を近似函数として $U = \sum_n b_n \sin \frac{n\pi x}{l}$, $V = \sum_n a_n \sin \frac{n\pi x}{l}$ を用い GALERKIN 法によって次式がえられる。

$$E_s I_y a_n \left(\frac{m\pi}{l} \right)^2 \frac{l}{2} + H_c a_n \left(\frac{m\pi}{l} \right)^2 \frac{l}{2} + \int_0^l \left\{ \left(\frac{d}{C_3} - \frac{y''}{C_4} \right) y' \sum_n a_n \sin \frac{m\pi x}{l} \cos \frac{n\pi x}{l} dx - \int_0^l \frac{y''}{C_4} \sum_n b_n \frac{n\pi}{l} \sin \frac{m\pi x}{l} \cos \frac{n\pi x}{l} dx \right. \\ \left. - \int_0^l \frac{y'}{C_3} \sum_n b_n \sin \frac{m\pi x}{l} \sin \frac{n\pi x}{l} dx - \int_0^l \left(y'' - \frac{C_4}{C_3} y' + \frac{C_4 d}{C_3} \right) \sum_n a_n \frac{n\pi}{l} \sin \frac{m\pi x}{l} \cos \frac{n\pi x}{l} dx - b_n \left(\frac{m\pi}{l} \right)^2 \frac{l}{2} \right. \\ \left. - \int_0^l \frac{C_4}{C_3} \sum_n b_n \frac{n\pi}{l} \sin \frac{m\pi x}{l} \cos \frac{n\pi x}{l} dx - \int_0^l \frac{C_4}{C_3} \sum_n b_n \sin \frac{m\pi x}{l} \sin \frac{n\pi x}{l} dx \right) = 0 \quad m = 1, 2, 3, \dots \quad (17)$$

$$\int_0^l y' \sum_n a_n \frac{n\pi}{l} \sin \frac{m\pi x}{l} \sin \frac{n\pi x}{l} dx - \int_0^l \left(y'' - \frac{C_4}{C_3} y' + \frac{C_4 d}{C_3} \right) \sum_n a_n \frac{n\pi}{l} \sin \frac{m\pi x}{l} \cos \frac{n\pi x}{l} dx - b_n \left(\frac{m\pi}{l} \right)^2 \frac{l}{2} \\ - \int_0^l \frac{C_4}{C_3} \sum_n b_n \frac{n\pi}{l} \sin \frac{m\pi x}{l} \cos \frac{n\pi x}{l} dx - \int_0^l \frac{C_4}{C_3} \sum_n b_n \sin \frac{m\pi x}{l} \sin \frac{n\pi x}{l} dx = 0 \quad m = 1, 2, 3, \dots \quad (18)$$

式中の積分項は数值積分によつて求めらる。数値計算結果及びわじれの簡易基礎方程式及びその結果は当該補足説明する予定である。

(記号)

p : 活荷重 e : 活荷重偏心量 w : 死荷重

$$C_3 = k^3 a / b A_h E_h$$

W_c : テーブルに対する風荷重。

W_s : 補剛杆に対する風荷重

Y_t : 補剛杆のせん断中心から重心までの距離

I_t : 補剛杆の S_e , VENANT のみずれ抵抗

C_s : 補剛杆の重心に関する曲げねじり抵抗

$$C_1 = k^3 a / 4d^3 A_h E_h \quad C_2 = k^3 a / b A_h E_h$$

図3 吊橋の荷重状態。

